

П. Ш. ФРИДБЕРГ

РЕШЕНИЕ ИНТЕГРАЛЬНОГО УРАВНЕНИЯ ДЛЯ НАПРЯЖЕНИЯ
НА УЗКОЙ СИЛЬНОИЗЛУЧАЮЩЕЙ ЩЕЛИ

(Представлено академиком А. В. Гапоновым-Греховым 21 IV 1970)

1. Пусть два простых объема с бесконечно тонкими и идеально проводящими стенками связаны через узкую сильноизлучающую щель (у.с.щ.), прорезанную далеко (на расстояниях, много больших d) от изломов поверхности (рис. 1).

Поясним смысл введенных определений: а) объем простой, если в отсутствие щели известен бесконечный набор собственных функций дискретного или непрерывного спектра, из которых может быть сконструирована его тензорная функция Грина электрического поля (1) ;

б) щель сильноизлучающая, если на оси металлизированной щели продольная $H_z(v)$ и поперечная $H_u(v)$ компоненты возбуждающего магнитного поля удовлетворяют условию (2)

$$|H_z(v)| \gg |H_u(v)|; \quad (1)$$

в) щель узкая, если $d/L \ll 1$, но $\alpha^{-1} \sim \ln L/d \sim 1$ (3) , L — характерный размер в задаче.

Считая известными входные адмитансы $(1, 3)$ $\eta(v, v')$ и $\tilde{\eta}(v, v')$ сочленяемых объемов, запишем интегральное уравнение для напряжения на у.с.щ.*

$$(\hat{\eta} + \hat{\tilde{\eta}}) U^0 = l^{-1} H_v. \quad (2)$$

Так как найти U^0 не удастся, то для отыскания приближенного решения (обозначаемого всюду без индекса нуль) Я. Н. Фельд (4) предложил воспользоваться способом, аналогичным методу Галеркина: если положить

$$U(v) = \sum_{n=1}^N U_n \psi_n(v), \quad (3)$$

то (2) можно свести к системе линейных алгебраических уравнений. Функции $\psi_n(v)$ не обязаны (4) обращаться в нуль на концах щели, однако

* Здесь и в дальнейшем используются обозначения

$$\hat{R}x \equiv \frac{1}{l} \int_0^l dv' R(v, v') x(v'), \quad (x, y) = \frac{1}{l} \int_0^l dv x(v) y(v).$$

Величины с чертой относятся ко второму объему.

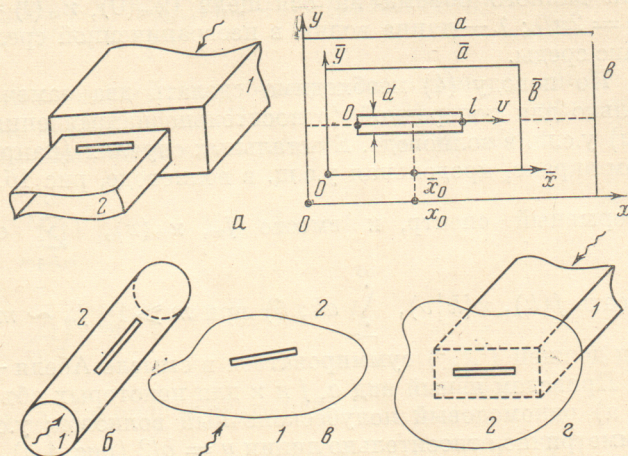


Рис. 1

обычно (в том числе и в (4)) полагают $\psi_n(v) = \sin n\pi v/l$. Отыскание матричных элементов $(\psi_m, (\hat{\eta} + \hat{\eta}')\psi_n)$ этой системы весьма трудоемко с вычислительной точки зрения, ибо они выражаются через p -кратные ($p \leq 3$) бесконечные суммы (интегралы). Кроме того, в общем случае не удается показать, что $\lim_{N \rightarrow \infty} U(v) = U^0(v)$.

2. Свяжем с простым объемом естественную систему координат. Если у.с.щ. прорезана вдоль одной из координатных линий, то ее входной адмитанс может быть (1, 3, 5) представлен в виде

$$\alpha^{-1}(v, v') = \eta_0 \left\{ -\frac{i\alpha^{-1}}{k_0} [\mathcal{L}\delta(v - v')] + \frac{i}{l^2} \sum_{m=1}^{\infty} f_m \kappa_m^*(v) \kappa_m(v') \right\}, \quad |\kappa_m(v)| \leq 1, \quad (4)$$

где f_m — известные коэффициенты, выражающиеся в свою очередь через $(p-1)$ -кратную бесконечную сумму; $\kappa_m(v)$ — значение собственной функции данного объема на оси щели ($\kappa_m(0), \kappa_m(l) \neq 0$), $\mathcal{L} = k_0^2 + d^2/dv^2$; $k_0 = 2\pi/\lambda$; λ — длина волны в неограниченной среде; η_0 — волновой адмитанс среды.

По поводу (4) необходимо сделать два замечания: а) m дискретно только для поперечной (относительно направления распространения волны) у.с.щ. в волноводе. В остальных случаях (например, у.с.щ. в бесконечном экране, продольная у.с.щ. в волноводе, рис 1б, в) $m = k$ образует непрерывный спектр, и вместо $f_m, \kappa_m(v)$, $\sum_{m=1}^{\infty}$ следует соответственно

писать $f(k), \kappa(k|v)$, $\int_{-\infty}^{\infty} dk$; б) при $m \gg 1$ $f_m \sim m^2 \ln m$, и расходящийся ряд должен (1, 3, 5) суммироваться в смысле Абеля — Пуассона.

Приведем явный вид α, f и κ для некоторых объемов (5, 6):

а) одномодовый полубесконечный волновод; у.с.щ. прорезана в торце симметрично относительно линии $y = b/2$ (рис. 1 а).

$$\alpha^{-1} = \frac{1}{\pi} \left(\ln \frac{8a}{\pi d} - C \right), \quad \kappa_m(v) \equiv s_m(v) \equiv \sin \left[\frac{m\pi}{a} \left(v + x_0 - \frac{l}{2} \right) \right],$$

$$f_m = \begin{cases} \frac{4l^2\lambda}{a\Lambda^2} \left[\ln \frac{4a}{b} - C - Q \left(\frac{b}{\Lambda} \right) \right] - iq^2 \frac{\lambda}{\Lambda}, & m = 1, \\ \frac{l^2\lambda}{2a^3} [4\rho_m \sigma_m - \sigma_m \ln \sigma_m], & m \geq 2, \end{cases} \quad (5)$$

$$\sigma_m = m^2 - \left(\frac{2a}{\lambda} \right)^2, \quad \rho_m = \sum_{n=1}^{\infty} K_0 \left(n\pi \frac{b}{a} \sigma_m^{1/2} \right), \quad Q(x) = \sum_{n=1}^{\infty} \left[\frac{1}{\sqrt{n^2 - x^2}} - \frac{1}{n} \right].$$

$$C = 0,577\dots, \quad \Lambda = \lambda [1 - (\lambda/2a)^2]^{-1/2}, \quad q = (2l^2/ab)^{1/2};$$

б) соответствующие выражения для бесконечного волновода тех же размеров с поперечной у.с.щ. на широкой стенке получаются (6) из (5) формальной заменой b на $2b$;

в) у.с.щ. в бесконечном экране (рис. 1в)

$$\alpha^{-1} = \frac{1}{\pi} \left(\ln \frac{8L}{d} - C \right), \quad \kappa(k|v) = e^{ikv}, \quad (6)$$

$$f(k) = \frac{1}{4\pi^2 k_0} [(k_0^2 - k^2) L^2] \ln [(k^2 - k_0^2) L^2].$$

3. Введем вместо величин $H_v(v)$ и $U^0(v)$ безразмерные функции $\hat{h}(v) = I_0^{-1} H_v(v)$ и $V^0(v) = I_0^{-1} \eta_0 U^0(v)$, I_0 — амплитуда магнитного поля возбуждающей волны. Подстановка (4) в (2) дает

$$\mathcal{L}V^0(v) = \frac{k_0 \alpha_0}{l} \left\{ \sum_{m=1}^{\infty} [V_m^0 f_m \hat{\chi}_m^*(v) + \bar{V}_m^0 \bar{f}_m \bar{\chi}_m^*(v)] + i\hat{h}(v) \right\}, \quad \alpha_0 = \frac{\alpha \bar{\alpha}}{\alpha + \bar{\alpha}}, \quad (7)$$

де

$$V_n^0 = (V^0, \chi_n), \quad \bar{V}_n^0 = (V^0, \bar{\chi}_n). \quad (8)$$

Теперь с помощью функции Грина $G(v, v') = (k_0 \sin k_0 l)^{-1} g(v, v')$, $g(v, 0) = g(v, l) = 0$ оператора \mathcal{L} сводим интегро-дифференциальное уравнение (7) к интегральному уравнению второго рода

$$V^0(v) = - \frac{\alpha_0}{\sin k_0 l} \left\{ \sum_{m=1}^{\infty} [V_m^0 f_m \hat{g} \chi_m^* + \bar{V}_m^0 \bar{f}_m \hat{g} \bar{\chi}_m^*] + i\hat{g}h \right\}. \quad (9)$$

Важно подчеркнуть, что каждый член бесконечной суммы (а также $\hat{g}h$) обращается в нуль на концах щели. Подставляя (9) в (8), приходим к строгой бесконечной системе линейных алгебраических уравнений

$$\begin{aligned} \sum_{m=1}^{\infty} [Y_{mn}^{11} V_m^0 + Y_{mn}^{12} \bar{V}_m^0] &= I_n^1, \\ \sum_{m=1}^{\infty} [Y_{mn}^{21} V_m^0 + Y_{mn}^{22} \bar{V}_m^0] &= I_n^2. \end{aligned} \quad (10)$$

Ее матричные элементы и правая часть равны

$$\begin{aligned} Y_{mn}^{11} &= \delta_{mn} \sin k_0 l + \alpha_0 f_m (\hat{g} \chi_m^*, \chi_n), & Y_{mn}^{12} &= \alpha_0 \bar{f}_m (\hat{g} \bar{\chi}_m^*, \chi_n), \\ Y_{mn}^{21} &= \alpha_0 f_m (\hat{g} \chi_m^*, \bar{\chi}_n), & Y_{mn}^{22} &= \delta_{mn} \sin k_0 l + \alpha_0 \bar{f}_m (\hat{g} \bar{\chi}_m^*, \bar{\chi}_n); \end{aligned} \quad (11)$$

$$I_n^1 = -i\alpha_0 (\hat{g}h, \chi_n), \quad I_n^2 = -i\alpha_0 (\hat{g}h, \bar{\chi}_n). \quad (12)$$

Заметим, что с помощью матричной символики выражениям (9), (10) можно придать весьма компактную форму.

Решение исходного уравнения (7) непрерывно по параметру $k_0 l$. Использование же функции Грина оператора \mathcal{L} приводит к неопределенности в выражениях (9), (10) при $k_0 l = \nu\pi$, $\nu = 1, 2, \dots$. Однако $\lim_{k_0 l \rightarrow \nu\pi} V^0(v)$

остается конечным.

Бесконечный ряд выражения (9) сходится абсолютно, ибо его члены убывают как $m^{-2} \ln m$ (согласно теории рядов Фурье при $m \gg 1$ имеем $V_m^0, \bar{g} \chi_m \sim m^{-2}$, а $f_m \sim m^2 \ln m$).

Система уравнений (10) существенно отличается от системы, получаемой по методу Галеркина, простотой матричных элементов: $(\psi_m, \hat{\eta} \psi_n)$ есть p -кратная бесконечная сумма, а $Y_{mn} = (p-1)$ -кратная. Более того, так как $\chi_m(v)$ и $\bar{\chi}_m(v)$ являются значениями собственных функций сочленяемых объемов на оси щели, то коэффициенты V_m^0 и \bar{V}_m^0 оказываются пропорциональными соответствующим элементам матрицы рассеяния S . Следовательно, выражение (10) имеет глубокий физический смысл: его можно трактовать как строгую систему линейных уравнений для определения элементов $\|S\|$.

4. Найти строгое решение (10) вряд ли возможно. Для отыскания приближенного решения в (9) следует сохранить N членов. Выбор числа N должен обеспечить хорошую аппроксимацию ядра интегрального уравнения, поэтому необходимо требовать $N \gg s$, где s — количество осцилляций возбуждающего поля на длине щели.

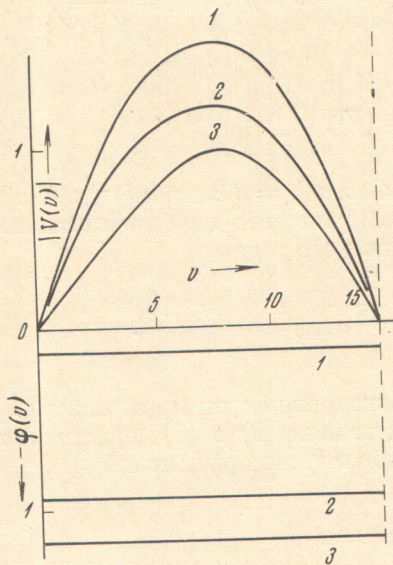


Рис. 2

В качестве примера рассмотрим диафрагму в одномодовом ($2a > \lambda > > 2b$) волноводе (рис. 1а; $a = \bar{a}$, $b = \bar{b}$, $x_0 = \bar{x}_0$). В этом случае ⁽⁶⁾ $h(v) = = 2qs_1(v)$.

Падающая в первый канал H_{10} -волна создаст на щели напряжение

$$V(v) \equiv |V(v)| e^{i\varphi(v)} = = -\frac{\alpha}{\sin k_0 l} \left[\sum_{m=1}^N V_m f_m \hat{g} s_m + iq \hat{g} s_1 \right]. \quad (13)$$

Коэффициенты V_m определяются из системы уравнений

$$\sum_{m=1}^N Y_{mn} V_m = I_n, \quad 1 \leq n \leq N, \quad (14)$$

в которой

$$Y_{mn} = \delta_{mn} \sin k_0 l + \alpha f_m (\hat{g} s_m, s_n), \\ I_n = -iaq (\hat{g} s_1, s_n), \quad (15)$$

а α , f_m и s_m определены в (5).

С помощью формул возбуждения волноводов ⁽¹⁾ находим элементы матрицы рассеяния (номера каналов указаны на рис. 1а)

$$S_{12} = S_{21} = q \frac{\lambda}{\Lambda} V_1, \quad S_{11} = S_{22} = S_{12} - 1 \quad (16)$$

и еще раз убеждаемся, что S_{12} пропорционально V_1 .

Результаты численного расчета при $N = 30$ для $a = 23$, $b = 10$, $l = 15$, $d = 1$, $1 - \lambda = 2l$, $x_0 = a/2$; $2 - \lambda = 5/2l$, $x_0 = a/2$, $3 - \lambda = 5/2l$, $x_0 = l/2$ приведены на рис. 2.

В заключение приношу глубокую признательность А. В. Гапонову-Грехову и Я. Н. Фельду за плодотворное обсуждение.

Поступило
2 IV 1970

ЦИТИРОВАННАЯ ЛИТЕРАТУРА

- ¹ П. Ш. Фридберг, I Всесоюз. школа-семинар по дифракции и распространению волн, тексты лекций, Москва — Харьков, 1968. ² П. Ш. Фридберг, ДАН, 190, № 2 (1970). ³ И. Б. Левинсон, П. Ш. Фридберг, ДАН, 158, № 5 (1964); Радиотехника и электроника, 10, в. 2 (1965). ⁴ Я. Н. Фельд, Л. С. Бененсон, Антенно-фидерные устройства, 2, М., 1959. ⁵ П. Ш. Фридберг, Сборн. аннотаций IV всесоюзного симпозиума по дифракции и распространению волн, Харьков, 1967. ⁶ И. Б. Левинсон, П. Ш. Фридберг, Радиотехника и электроника, 11, в. 5 (1966).